

# 29. 非正弦波電流と有効電力

## 29. Non-Sinusoidal Current and Active Power

### 講義内容

1. 非正弦波電流と有効電力
2. 例題：誘導性負荷
3. LCR回路のインピーダンス

# 非正弦波電流と有効電力

インピーダンス  $Z (= R + jX_k)$  に非正弦波電圧  $v(t)$  を加えた時に流れる電流  $i(t)$  を求める

$$v(t) = V_0 + \sum_{k=1}^{\infty} V_{mk} \sin(k\omega t + \theta_k)$$

- **非正弦波** 電流  $i(t)$

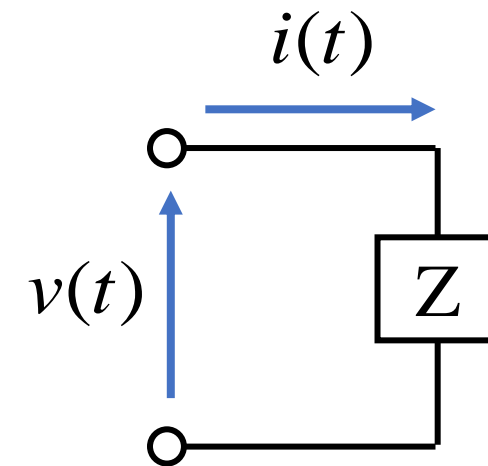
各調波の成分がそれぞれ別々に加わったものとして計算し、それらの結果を加え合わせればよい

$$i(t) = \frac{V_0}{Z_0} + \sum_{k=1}^{\infty} \frac{V_{mk}}{\sqrt{R^2 + X_k^2}} \sin(k\omega t + \theta_k - \phi_k) = I_0 + \sum_{k=1}^{\infty} I_{mk} \sin(k\omega t + \theta_k - \phi_k)$$

- **有効** 電力  $P$

有効電力  $P$  は負荷の抵抗成分  $R$  で消費される電力に等しいので

$$P = \sum_{k=1}^{\infty} I_k^2 R = (I_0^2 + I_1^2 + I_2^2 + \dots) R$$



$$|Z_k| = \sqrt{R^2 + X_k^2}$$

$$\phi_k = \tan^{-1} \frac{X_k}{R}$$

図のRL回路に以下の電圧を印加した。次の各値を求めよ。

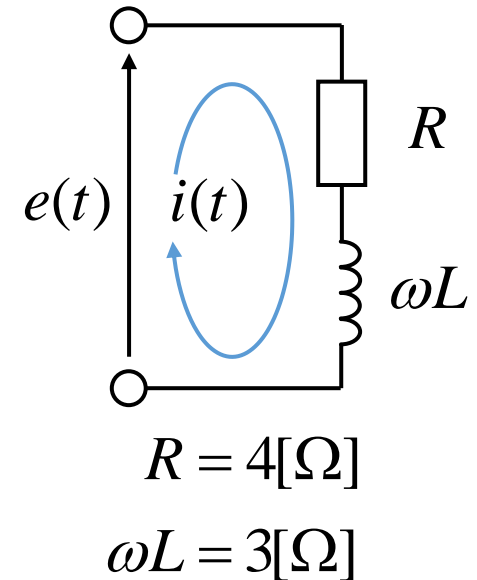
$$e(t) = 200 \sin(\omega t + 10^\circ) + 50 \sin(3\omega t + 30^\circ) + 30 \sin(5\omega t + 50^\circ) [\text{V}]$$

(1) 電流  $i(t)$ , (2)  $e(t)$  の実効値  $E_{\text{rms}}$ , (3)  $i(t)$  の実効値  $I_{\text{rms}}$ , (4) 有効電力  $P$ , (5) 力率  $\cos \Phi$

各調波のインピーダンスは

基本波	$\omega$ :	$Z_1 = 4 + j3$	$ Z_1  = 5$	$\phi_1 = \tan^{-1} \frac{3}{4} \approx 36.9^\circ$
第3調波	$3\omega$ :	$Z_3 = 4 + j9$	$ Z_3  = \sqrt{97}$	$\phi_3 = \tan^{-1} \frac{9}{4} \approx 66.0^\circ$
第5調波	$5\omega$ :	$Z_5 = 4 + j15$	$ Z_5  = \sqrt{241}$	$\phi_5 = \tan^{-1} \frac{15}{4} \approx 75.1^\circ$

これらを用いて各問を求めよ。



(1) 電流  $i(t)$

$$\begin{aligned} i(t) &= \frac{200}{|Z_1|} \sin(\omega t + 10^\circ - \phi_1) + \frac{50}{|Z_3|} \sin(3\omega t + 30^\circ - \phi_3) + \frac{30}{|Z_5|} \sin(5\omega t + 50^\circ - \phi_5) \\ &= 40 \sin(\omega t - 26.9^\circ) + 5.08 \sin(3\omega t - 36^\circ) + 1.93 \sin(5\omega t - 25.1^\circ) [\text{A}] \end{aligned}$$

**誘導性** 負荷 なので, **電圧** 波形に対して **電流** 波形の **位相** が **遅れて** いる (位相が **負**)

(2)  $e(t)$  の  
実効値  $E_{\text{rms}}$

$$E_{\text{rms}} = \sqrt{\frac{1}{2} (E_{m1}^2 + E_{m3}^2 + E_{m5}^2)} = \sqrt{\frac{1}{2} (200^2 + 50^2 + 30^2)} \approx 147.31 [\text{V}]$$

(3)  $i(t)$  の  
実効値  $I_{\text{rms}}$

$$I_{\text{rms}} = \sqrt{\frac{1}{2} (I_{m1}^2 + I_{m3}^2 + I_{m5}^2)} = \sqrt{\frac{1}{2} \left\{ \left( \frac{200}{5} \right)^2 + \left( \frac{50}{\sqrt{97}} \right)^2 + \left( \frac{30}{\sqrt{241}} \right)^2 \right\}} \approx 28.54 [\text{A}]$$

(4) 有効電力  $P$

$$\begin{aligned} P &= E_1 I_1 \cos \phi_1 + E_3 I_3 \cos \phi_3 + E_5 I_5 \cos \phi_5 \\ &= \frac{200}{\sqrt{2}} \cdot \frac{200}{5\sqrt{2}} \cdot \cos 36.9^\circ + \frac{50}{\sqrt{2}} \cdot \frac{50}{\sqrt{2} \cdot \sqrt{97}} \cdot \cos 66.0^\circ + \frac{30}{\sqrt{2}} \cdot \frac{30}{\sqrt{2} \cdot \sqrt{241}} \cdot \cos 75.1^\circ \\ &\approx 3257.8[\text{W}] \end{aligned}$$

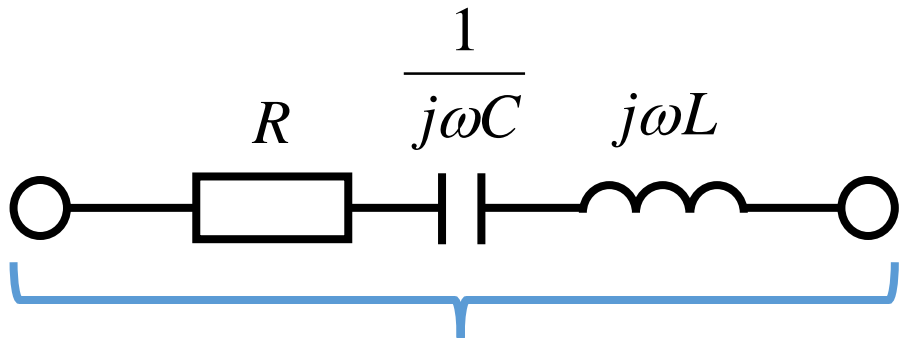
---

(5) 力率  $\cos \phi$

皮相電力  $P_a$  は  $P_a = E_{\text{rms}} I_{\text{rms}} = 147.3 \times 28.54 \approx 4203.9[\text{VA}]$

$$\cos \phi = \frac{P}{P_a} = \frac{3257.8}{4203.9} \approx 0.775 = 77.5[\%]$$

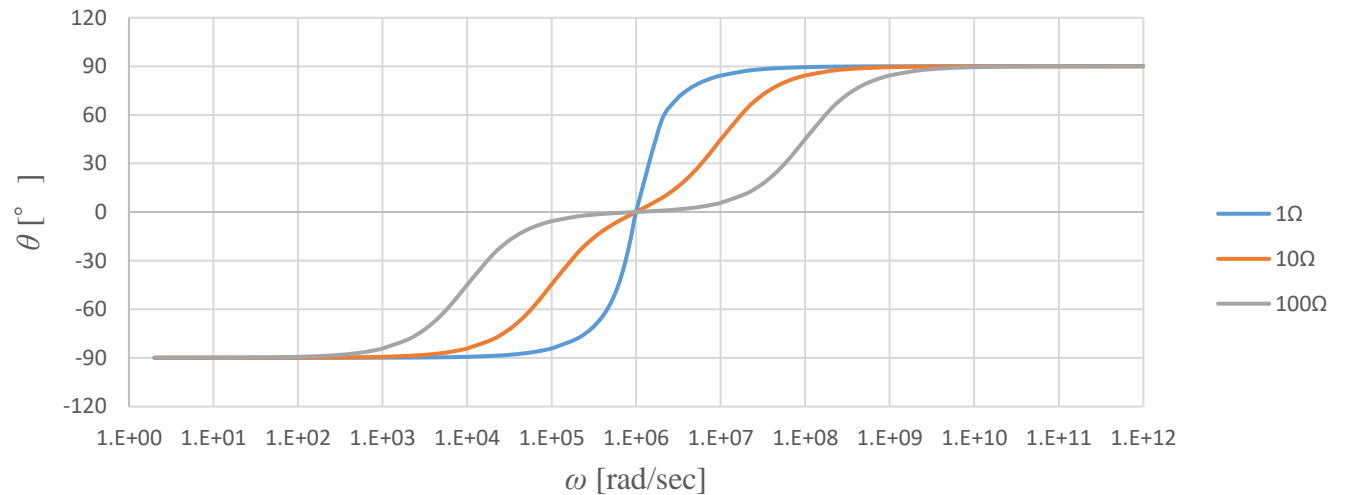
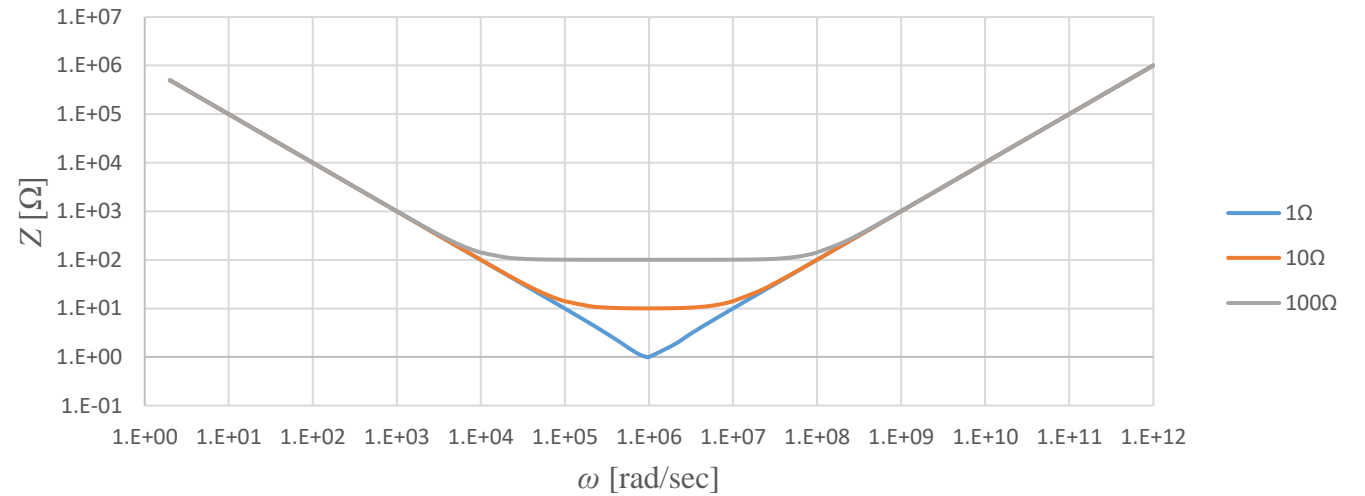
# LCR回路のインピーダンス



$$Z = R + jX = R + j\left(\omega L - \frac{1}{\omega C}\right)$$

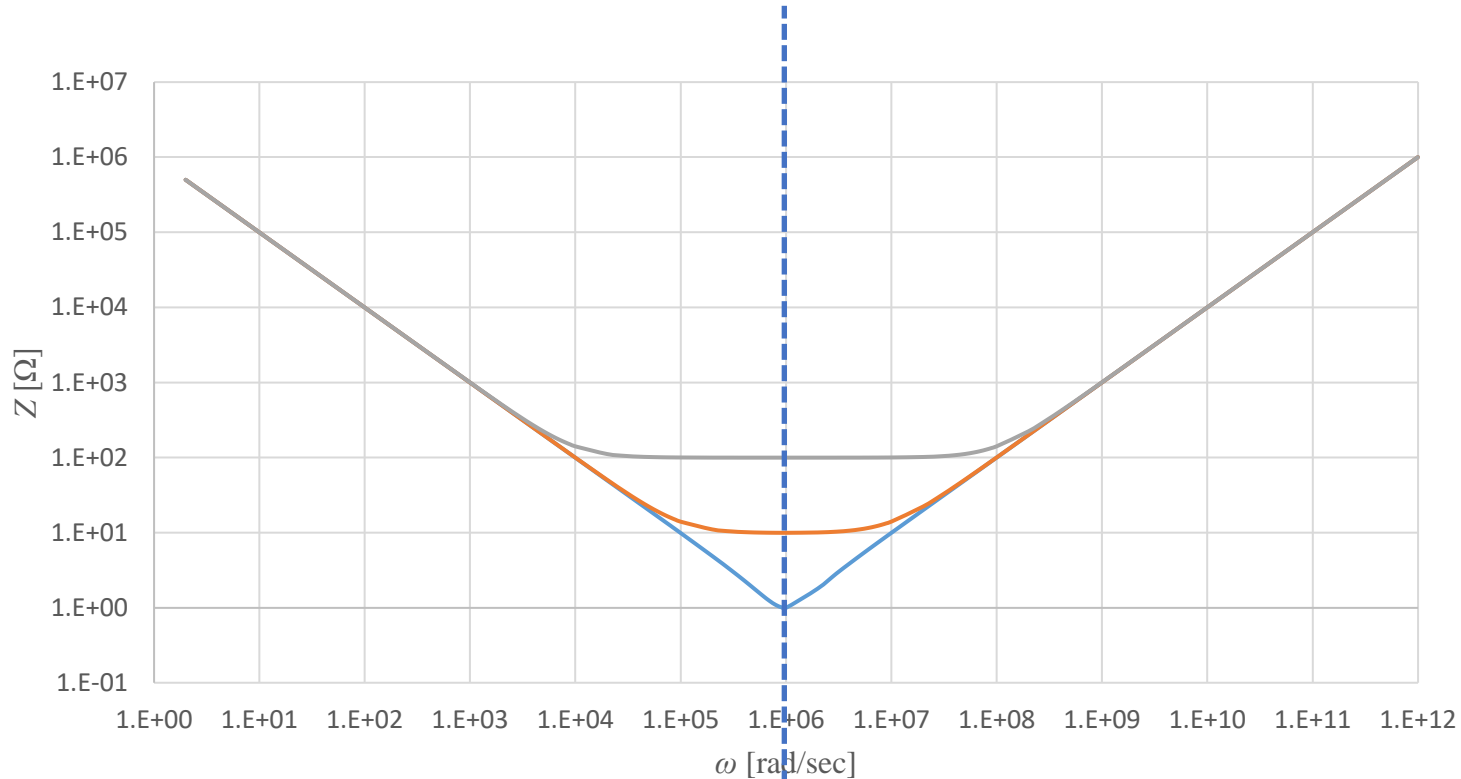
➔

$$|Z| = \sqrt{R^2 + \left(\omega L - \frac{1}{\omega C}\right)^2}$$
$$\phi = \tan^{-1} \frac{\left(\omega L - \frac{1}{\omega C}\right)}{R}$$



$R : 1[\Omega], 10[\Omega], 100[\Omega], L : 1[\mu\text{H}], C : 1[\mu\text{F}]$

# LCR回路のインピーダンス



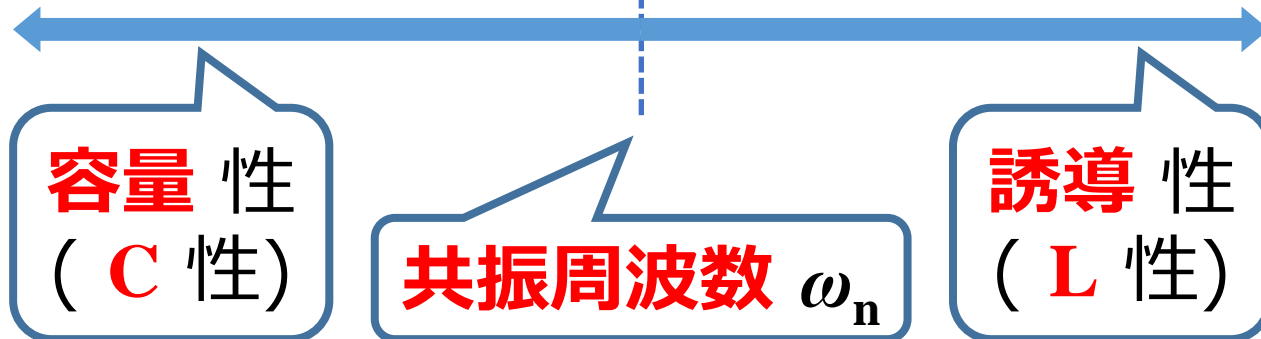
$$|Z| = \sqrt{R^2 + \left( \omega L - \frac{1}{\omega C} \right)^2}$$

$$\omega_n = \frac{1}{\sqrt{LC}}, \quad f_n = \frac{1}{2\pi\sqrt{LC}}$$

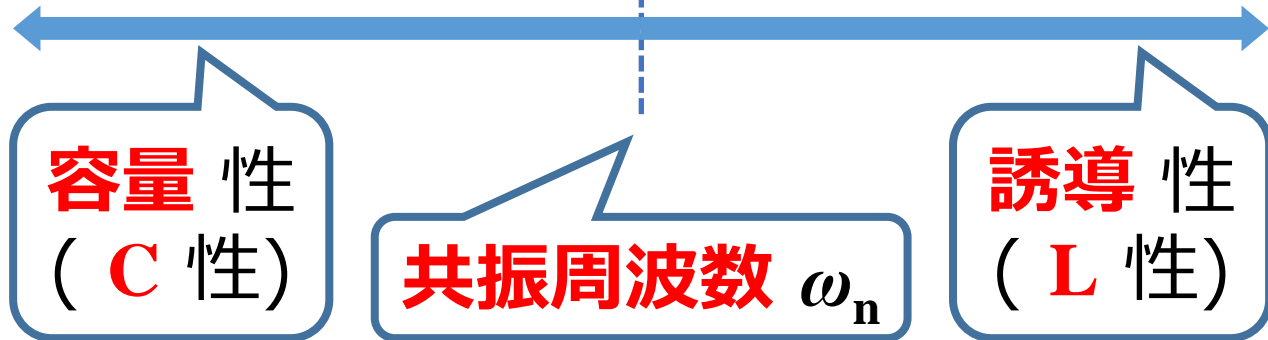
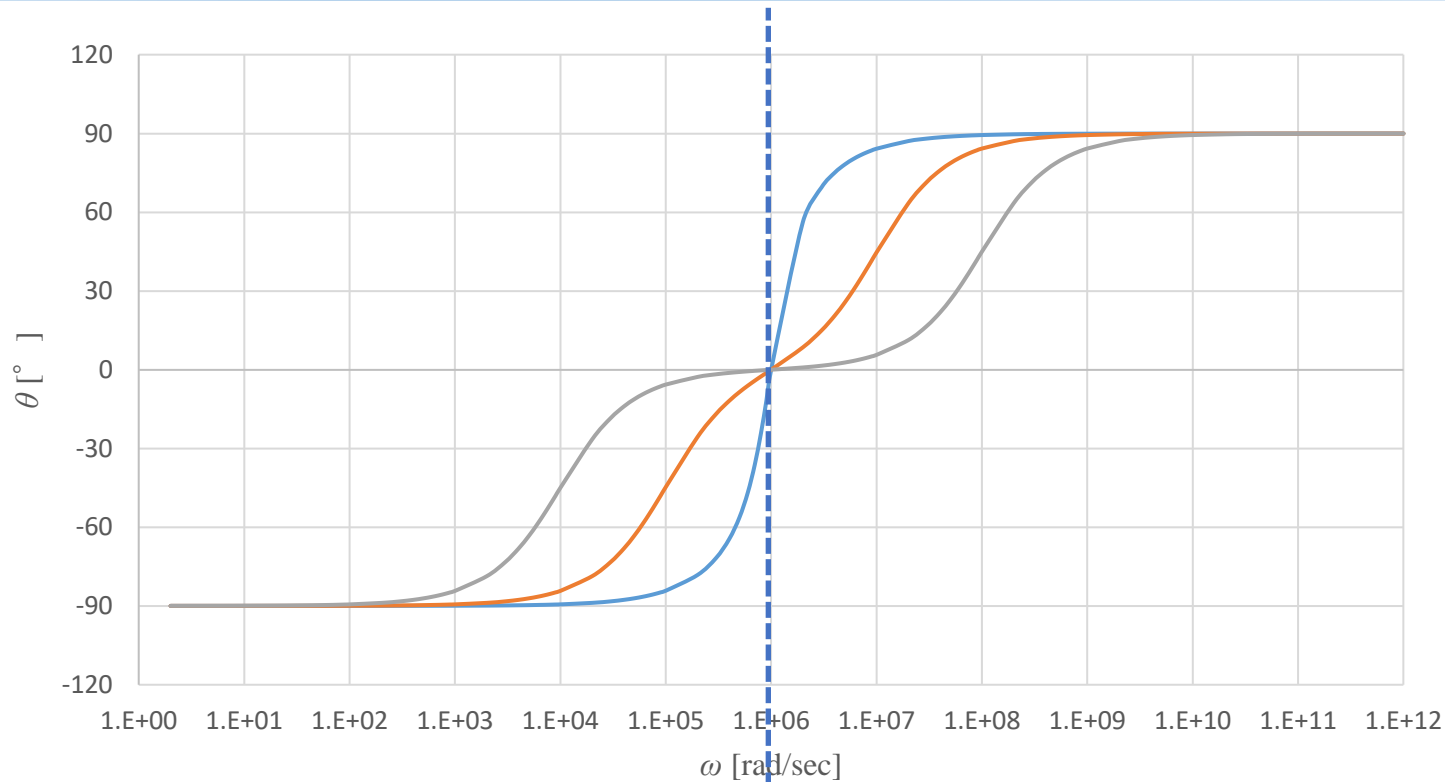
**低周波** 領域では  $\frac{1}{\omega C}$  が支配的

**高周波** 領域では  $\omega L$  が支配的

**共振周波数** を境に入れ替わる



# LCR回路のインピーダンス



$$\phi = \tan^{-1} \left( \frac{\omega L - \frac{1}{\omega C}}{R} \right)$$
$$\omega_n = \frac{1}{\sqrt{LC}}, \quad f_n = \frac{1}{2\pi\sqrt{LC}}$$

**低周波** 領域では  $\frac{1}{\omega C}$  が支配的

**高周波** 領域では  $\omega L$  が支配的

**共振周波数** を境に入れ替わる